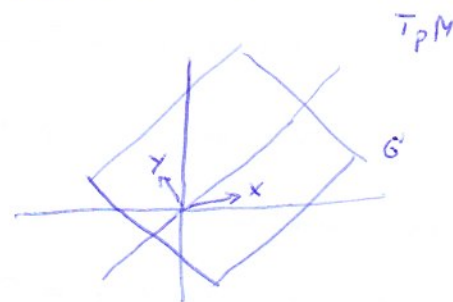
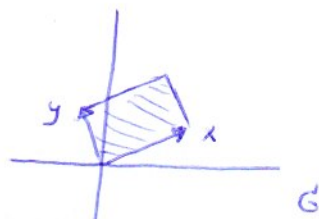


• Schnittkrümmung: Sei $p \in M$, $G \subseteq T_p M$ ein 2-dim. Untervektorraum.

Sei $\{x, y\}$ eine Basis für G .



Fläche des von x und y aufgespannten Parallelogramms ist

$$\sqrt{\|x\|^2 \|y\|^2 - \langle x, y \rangle^2} =: A(x, y)$$

Wir betrachten: $K(x, y) := \frac{\langle R(x, y)x, y \rangle}{A(x, y)^2}$

Lemma. $K(x, y)$ hängt nicht von der Wahl der Basis $\{x, y\}$ für G ab.

Beweis. Jede andere Basis von G erhält man aus $\{x, y\}$ durch Anwendung der folgenden drei elementaren Transformationen:

$$\begin{aligned} (x, y) &\Rightarrow (y, x) \\ &\Rightarrow (\lambda x, y) \quad \lambda \neq 0 \\ &\Rightarrow (x + \lambda y, y), \end{aligned}$$

Überprüfe dann, dass $K(x, y)$ invariant bleibt unter Anwendung dieser drei Transformationen.

Lemma. \Rightarrow Wir definieren $K_p(G) := K(x, y)$ für eine Basis (x, y) von G .

"Schnittkrümmung" von M entlang G im Punkt $p \in M$.

Die Familie $\{K_p(G)\}_{G \subseteq T_p M}$ bestimmt R im Punkt p eindeutig. Dies folgt aus einem Resultat der linearen Algebra, nämlich:

Prop. Sei $(V, \langle \cdot, \cdot \rangle)$ ein eukl. VR und seien $R, R': V \times V \times V \rightarrow V$ trilineare Abbildungen, die beide die Symmetrien des Krümmungstensors erfüllen.

Gilt dann $\langle R(x,y)x, y \rangle = \langle R'(x,y)x, y \rangle \quad \forall x,y \in V$, dann ist $R = R'$.

- Ricci-Krümmung: Sei $p \in M$ und $x \in T_p M$ mit $\|x\|=1$.

Wir ergänzen x zu einer ONB (x, z_1, \dots, z_{n-1}) von $T_p M$.

$$\text{Ric}_p(x) := \frac{1}{n-1} \sum_{i=1}^{n-1} \langle R(x, z_i)x, z_i \rangle \quad \text{"Ricci-Krümmung"}$$

- $\text{Ric}_p(x)$ ist unabhängig von der Wahl von $\{z_1, \dots, z_{n-1}\}$:

$Q(x,y) := \text{tr} (z \mapsto R(x,z)y)$ ist eine Bilinearform. Es gilt:
 $\text{tr} \rightarrow \text{Spur}$

$$Q(x,x) = (n-1) \text{Ric}_p(x) \quad \text{ist unabhängig von } \{z_1, \dots, z_{n-1}\}.$$

Wie schnell entfernen sich Geodätische voneinander?

\leadsto Jacobi-Felder

Sei $(M, \langle \cdot, \cdot \rangle)$ eine Riemannsche Mfgkt. (∇ = Levi-Civita-Zsmhang)

Sei $p \in M$.

$$\exp_p: \underset{T_p M}{\overset{\text{In}}{B_\varepsilon(M)}} \longrightarrow M. \quad \text{Sei } v \in T_p M.$$

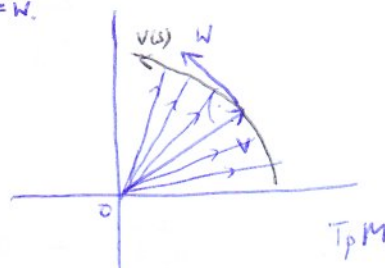
$$\gamma(t) = \exp_p(tv) \quad \text{Geodätische mit } \gamma'(0) = v.$$

Wir betrachten Vektorfelder entlang von Geodätischen. Sei $w \in T_v T_p M$.

Wie im Gauss-Lemma sei $v(s)$ eine Kurve in $T_p M$ mit $v(0) = v$, $v'(0) = w$.

$$f(t,s) := \exp_p(t \cdot v(s)).$$

Sei $J(t) = d(\exp_p)_{t \cdot v}(t w) = \frac{\partial f}{\partial s}(t, 0)$. Dann ist J ein VF entlang γ .

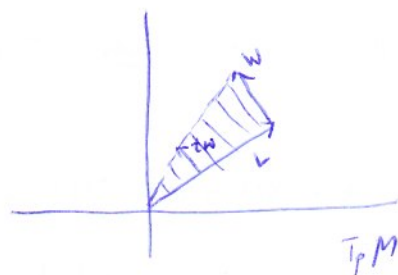


$$\gamma \text{ Geodätische} \rightarrow \frac{D}{dt} \frac{\partial f}{\partial t} = \frac{D}{dt} \gamma' = 0.$$

$$\Rightarrow \frac{D}{ds} \left(\frac{D}{dt} \frac{\partial f}{\partial t} \right) = 0.$$

Ist V ein VF entlang einer parametrisierten Fläche f , dann gilt:

$$\frac{D}{ds} \frac{D}{dt} V - \frac{D}{dt} \frac{D}{ds} V = R \left(\frac{\partial f}{\partial t}, \frac{\partial f}{\partial s} \right) V. \quad (\text{Nachrechnen in lokalen Koordinaten})$$



$$\Rightarrow \underbrace{\frac{D}{ds} \left(\frac{D}{dt} \frac{\partial f}{\partial s} \right)}_{= \nabla} = \underbrace{\frac{D}{dt} \left(\frac{D}{ds} \frac{\partial f}{\partial t} \right)}_{= \nabla_{\text{symm.}} \frac{D}{dt} \frac{\partial f}{\partial s}} + R \left(\frac{\partial f}{\partial t}, \frac{\partial f}{\partial s} \right) \frac{\partial f}{\partial t}$$

$$= \frac{D}{dt} \frac{D}{dt} \left(\frac{\partial f}{\partial s} \right) + R \left(\gamma', \frac{\partial f}{\partial s} \right) \gamma'$$

$$\Rightarrow [1]: \frac{D^2}{dt^2} J + R(\gamma', J) \gamma' = 0. \quad \text{"Jacobi-Gleichung"}$$

—
In lokalen Koordinaten:

Seien $\{e_1(t), \dots, e_n(t)\}$ parallele VF entlang γ , die an jedem Punkt

$\gamma(t)$ eine ONB von $T_{\gamma(t)} M$ bilden. (Nutze Paralleltransport zur Konstruktion von $\{e_1(t), \dots, e_n(t)\}$.)

$$\Rightarrow J(t) = f^i(t) e_i(t).$$

$$\cdot \frac{D^2}{dt^2} J(t) = \partial_t^2 f^i(t) e_i(t)$$

$$\cdot R(\gamma', J) \gamma' = \sum_i \langle R(\gamma', J) \gamma', e_i \rangle e_i \quad \text{"Fourier-Entwicklung"}$$

$$= \sum_{i,j} f^j \underbrace{\langle R(\gamma', e_j) \gamma', e_i \rangle}_{=: a_{ij}} e_i$$

$$\Rightarrow \partial_t^2 f^i + a_{ij} f^j = 0. \quad [2]$$

Dies ist eine lineare DGL 2. Ordnung.

Def. Ein Vektorfeld $J(t)$ entlang einer Geodätischen $\gamma(t)$ heißt Jacobi-Feld, wenn $J(t)$ die Jacobi-Gleichung [1] erfüllt.

[2] \Rightarrow Nach Wahl von $J(0)$, $\frac{D}{dt} J(0)$ erhält man ein eindeutiges Jacobi-Feld durch Lösen von [2].

Bsp.: $\gamma'(t)$, $t\gamma'(t)$ sind Jacobi-Felder.

• Jacobi-Felder auf Mfkten. konstanter Schnittkrümmung K .

$$\langle R'(X, Y)Z, W \rangle := \langle X, Z \rangle \cdot \langle Y, W \rangle - \langle X, W \rangle \langle Y, Z \rangle$$

ist trilinear und erfüllt die Symmetrien des Riemannschen Krümmungstensors.

$$\langle R'(X, Y)X, Y \rangle = \|X\|^2 \cdot \|Y\|^2 - \langle X, Y \rangle^2 = A(X, Y)^2.$$

$$\Rightarrow \frac{\langle K \cdot R'(X, Y)X, Y \rangle}{A(X, Y)^2} = K = \frac{\langle R(X, Y)X, Y \rangle}{A(X, Y)^2}$$

$$\Rightarrow R = K \cdot R'$$

Lemma
verh. h.

Einsetzen in [1]:

$$\begin{aligned} \langle R(\gamma', J)\gamma', T \rangle &= K \langle R'(\gamma', J)\gamma', T \rangle \\ &= K \left(\langle \gamma', \gamma' \rangle \langle J, T \rangle - \langle \gamma', T \rangle \langle J, \gamma' \rangle \right) \end{aligned}$$

Sei γ parametrisiert durch die Bogenlänge und $J \perp \gamma$.

$$\langle R(\gamma', J)\gamma', T \rangle = K \langle J, T \rangle \Rightarrow \boxed{\frac{D^2}{dt^2} J + K \cdot J = 0.} \quad [3]$$

Sei $W(t)$ ein VF entlang γ , $\|W(t)\|=1$ und $\langle W(t), \gamma' \rangle = 0$, W parallel.

[3] \Rightarrow

$$J(t) = \begin{cases} \frac{\sin(\sqrt{K}t)}{\sqrt{K}} W(t), & K > 0 \\ t \cdot W(t), & K = 0 \\ \frac{\sinh(\sqrt{-K}t)}{\sqrt{-K}} W(t), & K < 0 \end{cases}$$

$$\sinh(t) = \frac{1}{2}(e^t - e^{-t})$$